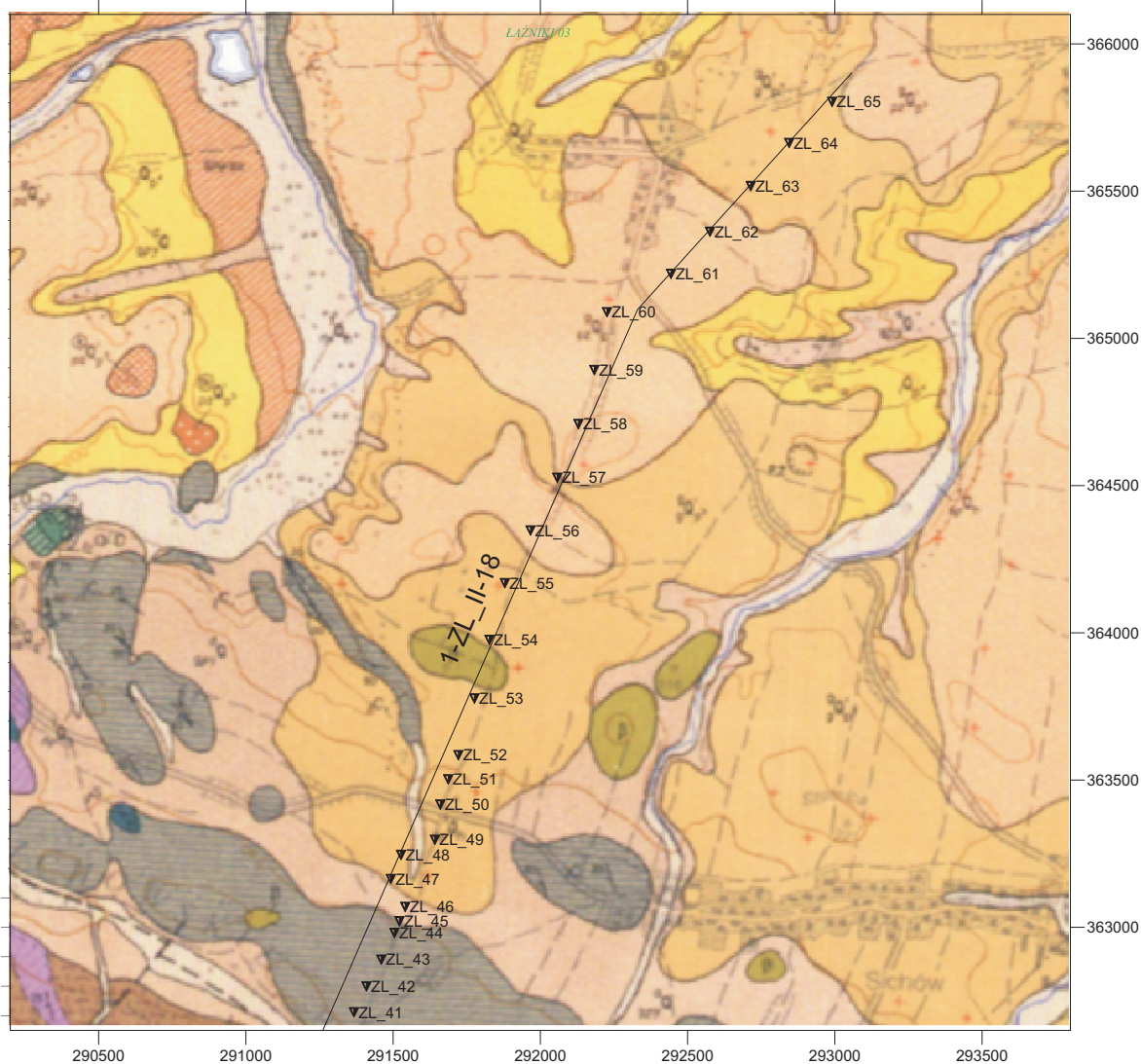




Figura 3.7.3.1. Lokalizacja sondowań magnetotellurycznych na tle mapy topograficznej-podkład-Mapa Topograficzna Polski źródło:<http://mapy.geoportal.gov.pl/wss/service/img/guest/TOPO/MapServer/WMSServer> -rejon badań -Złotoryja II, skala 1:25 000



OBJAŚNIENIA BARW I SYMBOLI

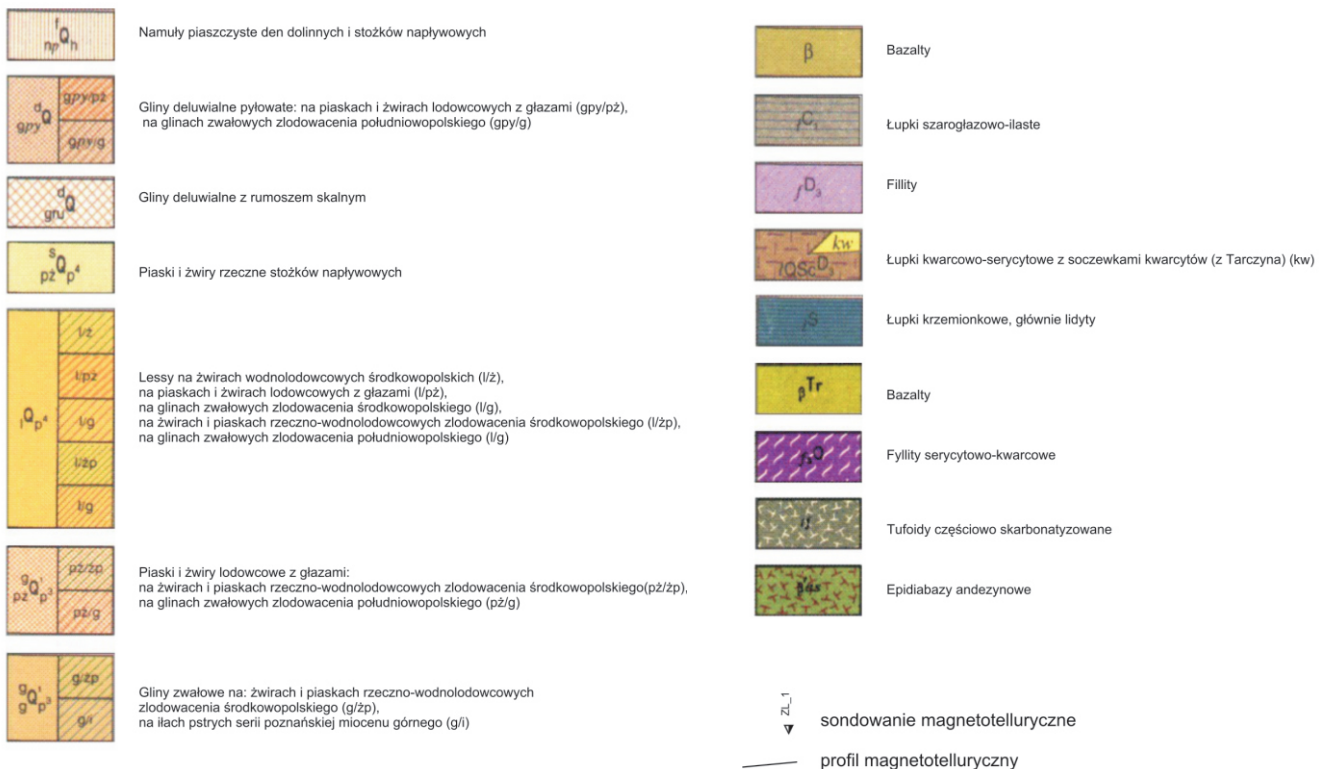


Figura 3.7.3.2. Lokalizacja sondowań magnetotellurycznych na tle Szczegółowej mapy geologicznej Sudetów - rejon: Złotoryja II, - fragment arkuszy: M-33-33-C-a Krotoszyce - opracowali: M. WALCZAK-AUGUSTYNIAK- 1993 r. M-33-33-C-c Chełmiec - opracował: J. JERZMAŃSKI - 1954-55r., skala 1:25 000

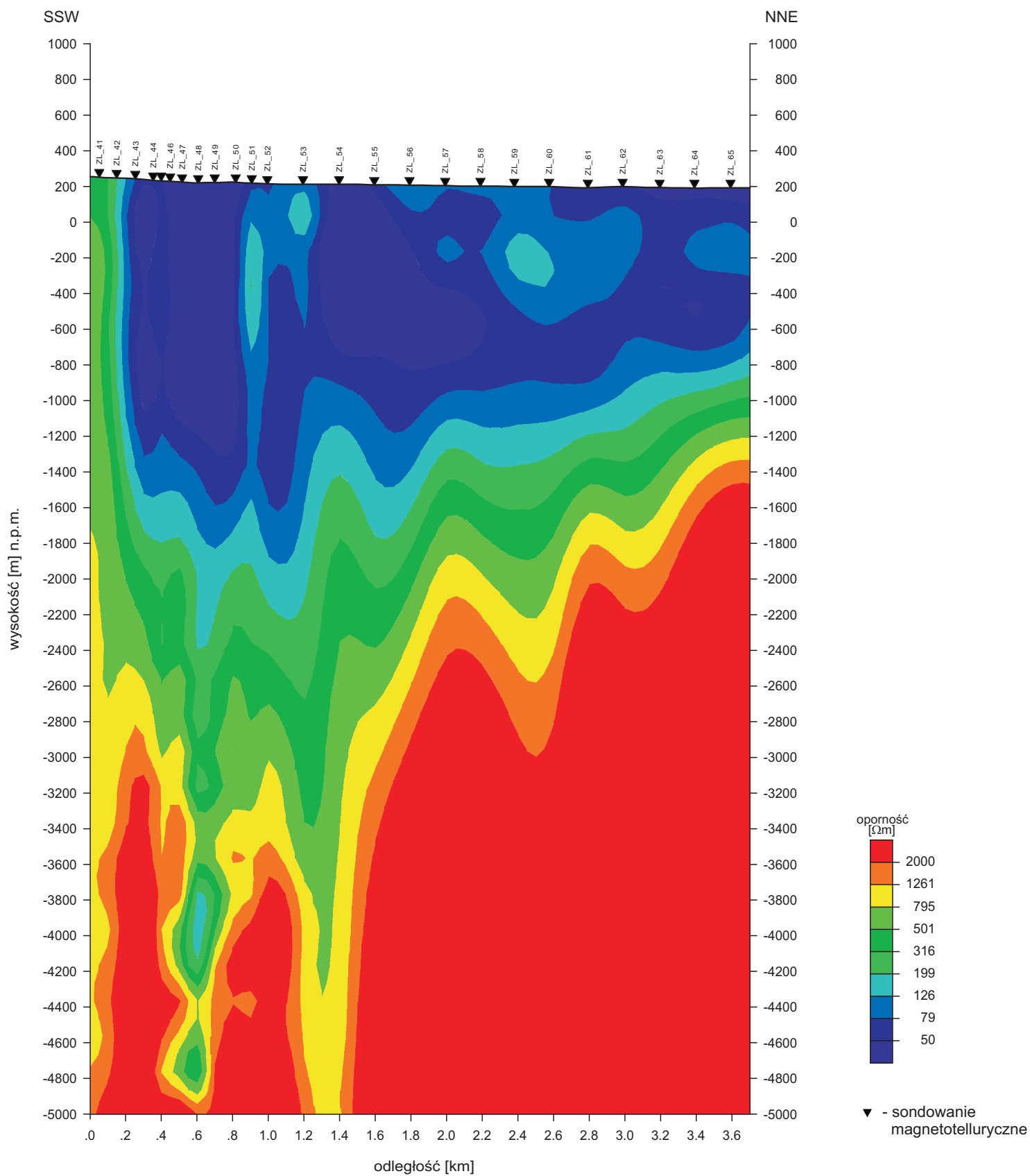


Figura 3.7.3.3. Rozkład oporności wzdłuż profilu 1-ZL_II-18 Złotoryja II na podstawie inwersji 1D wg algorytmu Occama dla polaryzacji magnetycznej

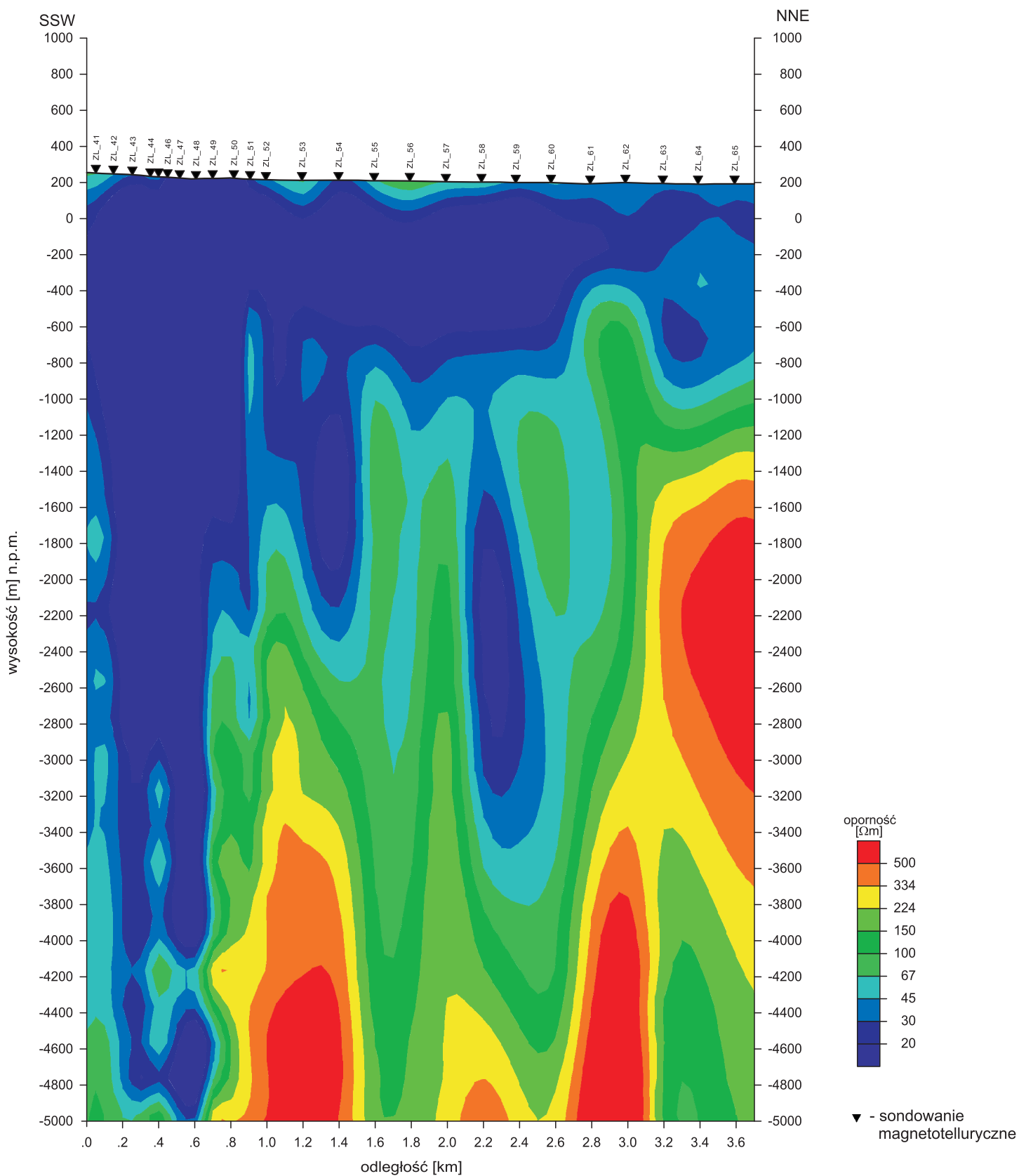


Figura 3.7.3.4. Rozkład oporności wzdłuż profilu 1-ZL_II-18 Złotoryja II na podstawie inwersji 1D wg algorytmu Occama dla polaryzacji elektrycznej

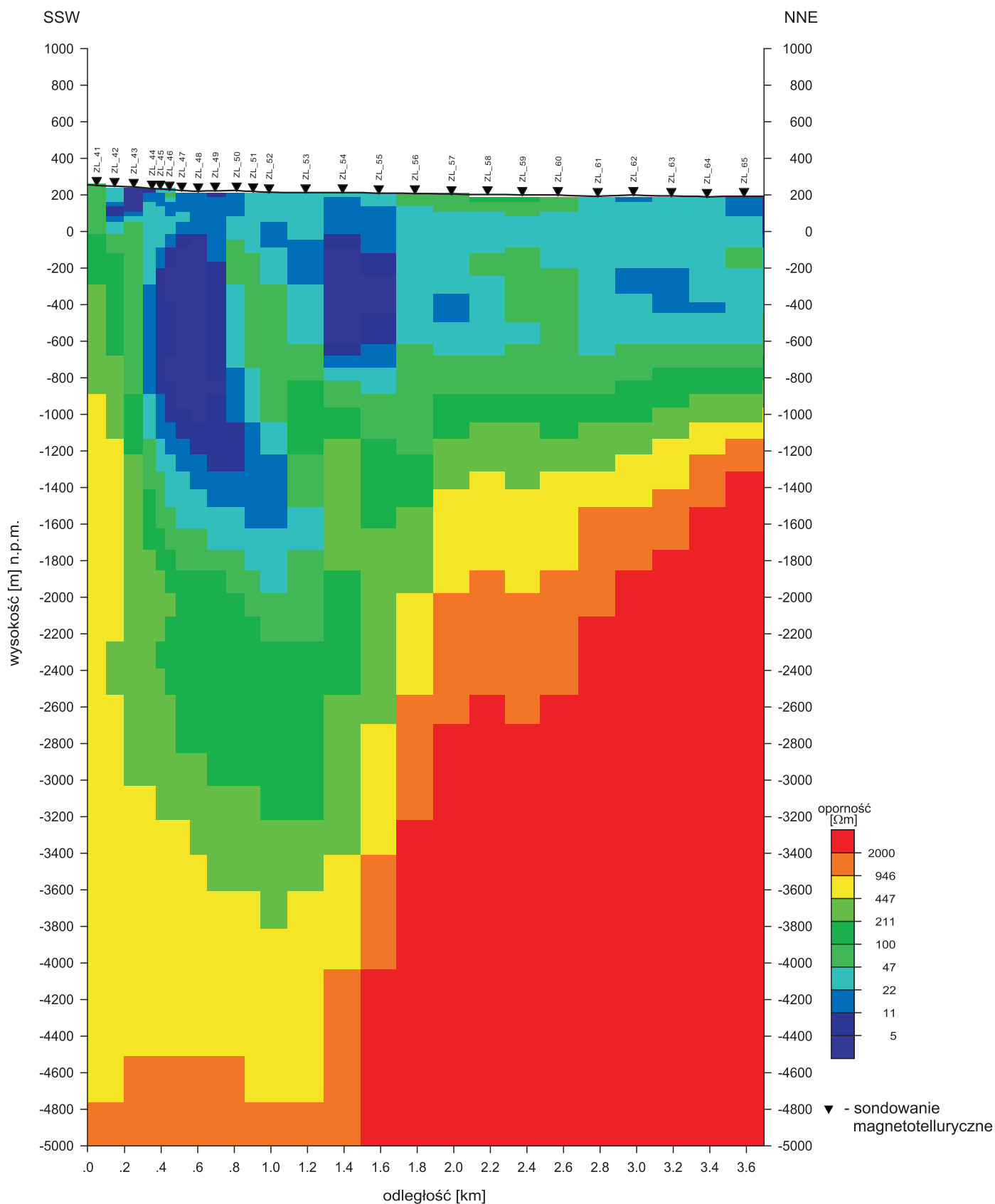


Figura 3.7.3.5. Rozkład oporności wzdłuż profilu 1-ZL_II-18 Złotoryja II na podstawie inwersji 2D wg algorytmu NLCG

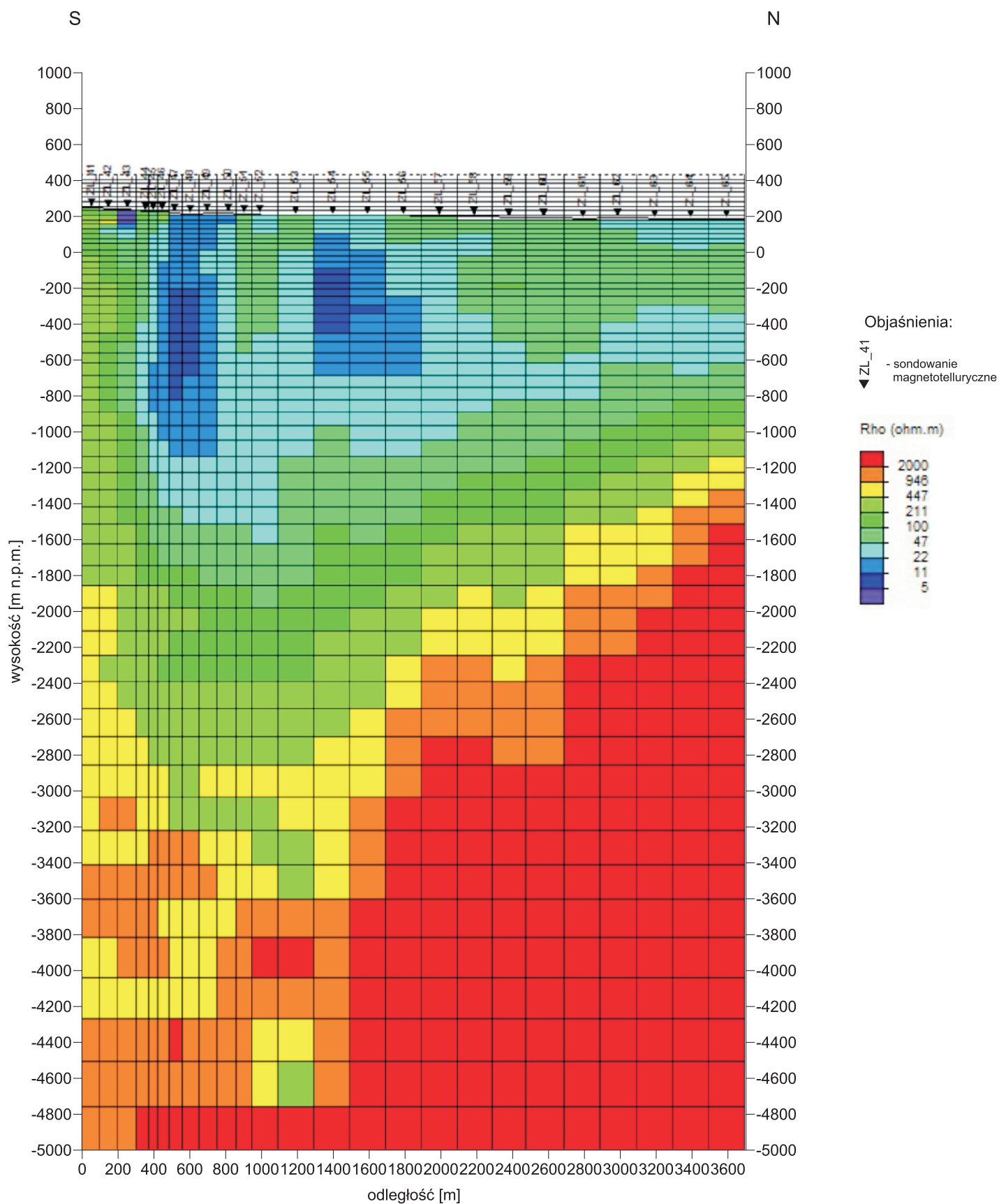


Figura 3.7.3.5a Rozkład oporności wzdłuż profilu 1-ZL_II-18 Złotoryja II na podstawie inwersji 2D wg algorytmu NLCG (iteracja 3)

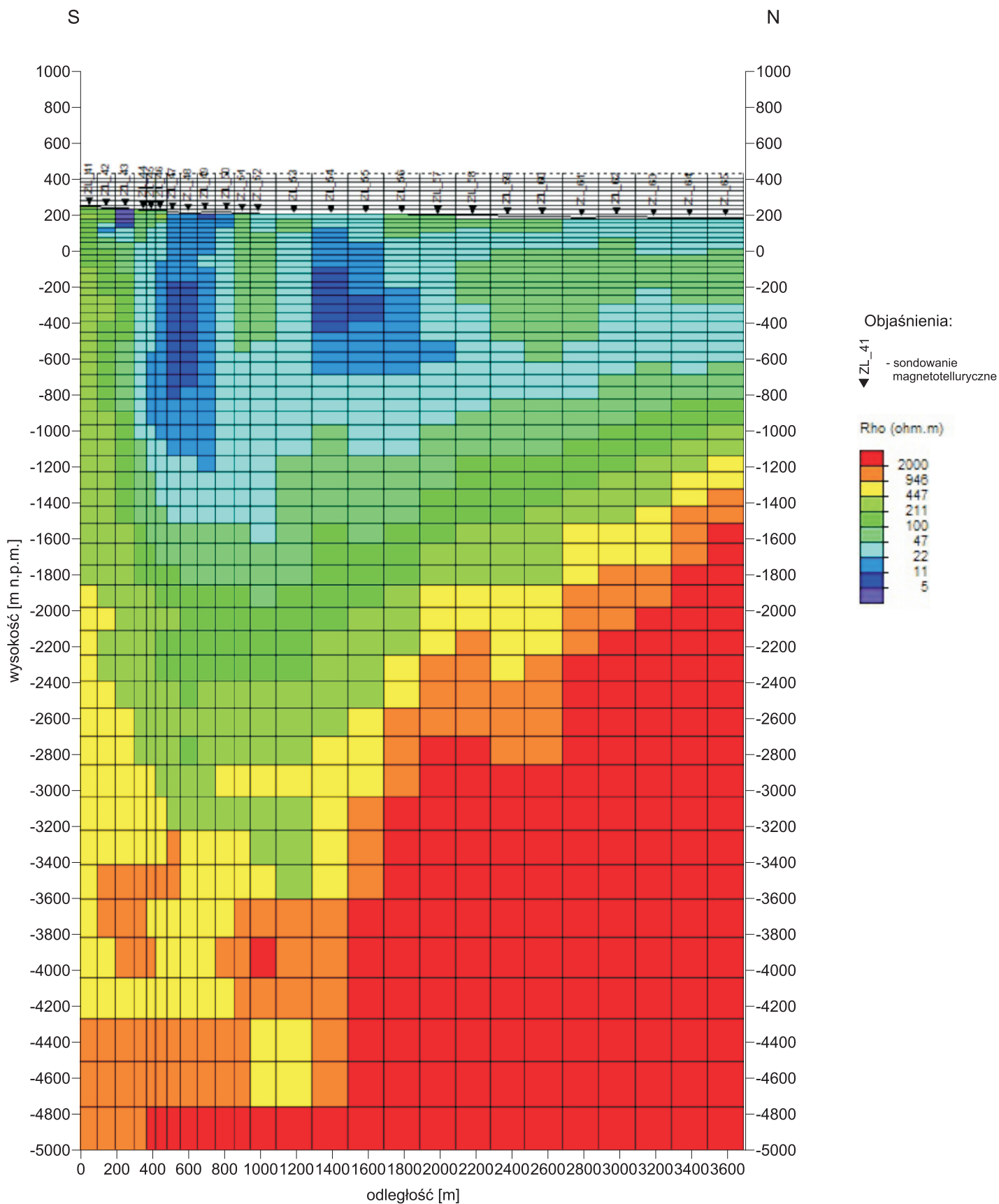


Figura 3.7.3.5b Rozkład oporności wzdłuż profilu 1-ZL_II-18 Złotoryja II na podstawie inwersji 2D wg algorytmu NLCG (iteracja 6)

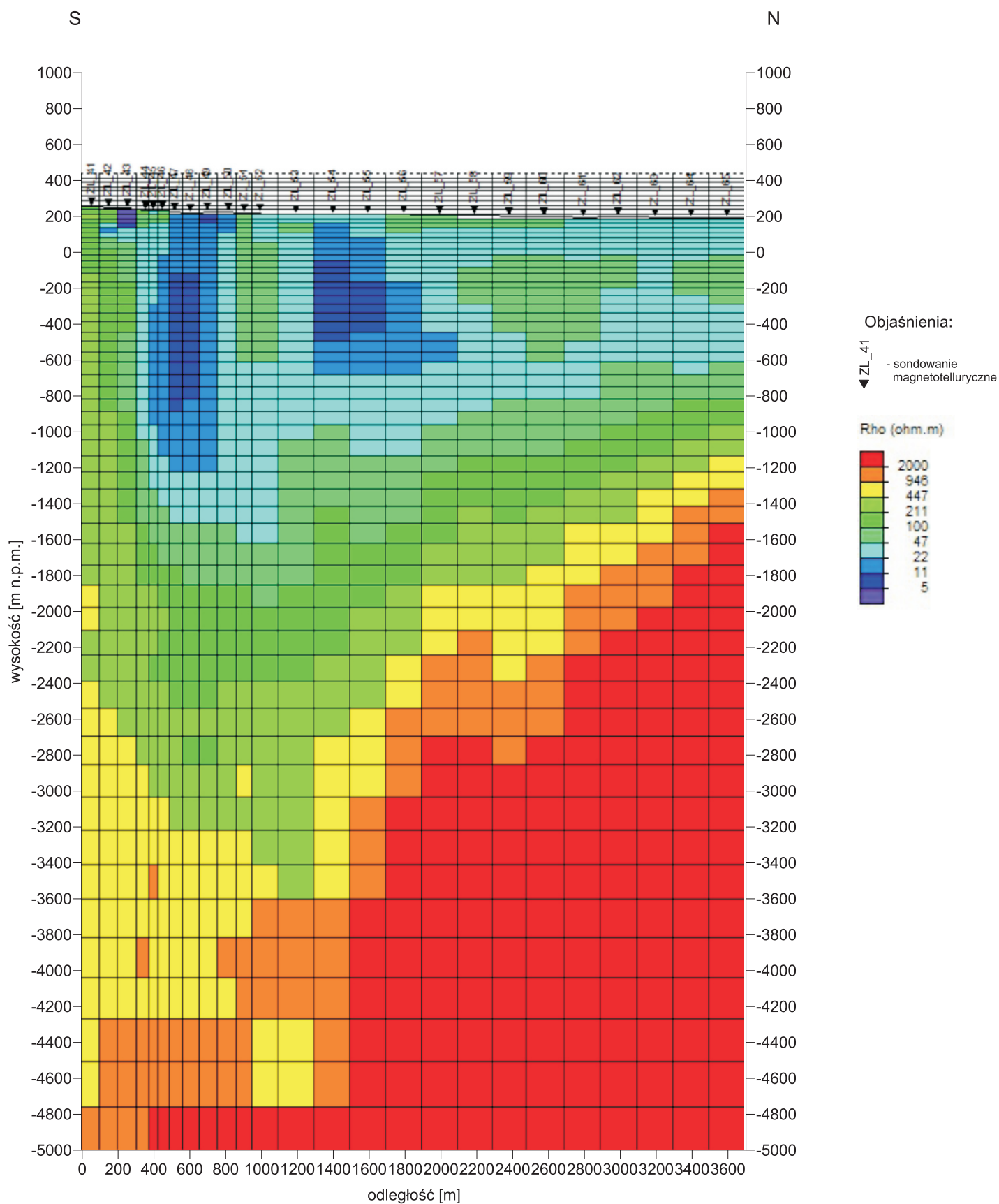


Figura 3.7.3.5c Rozkład oporności wzdłuż profilu 1-ZL_II-18 Złotoryja II na podstawie inwersji 2D wg algorytmu NLCG (iteracja 9)

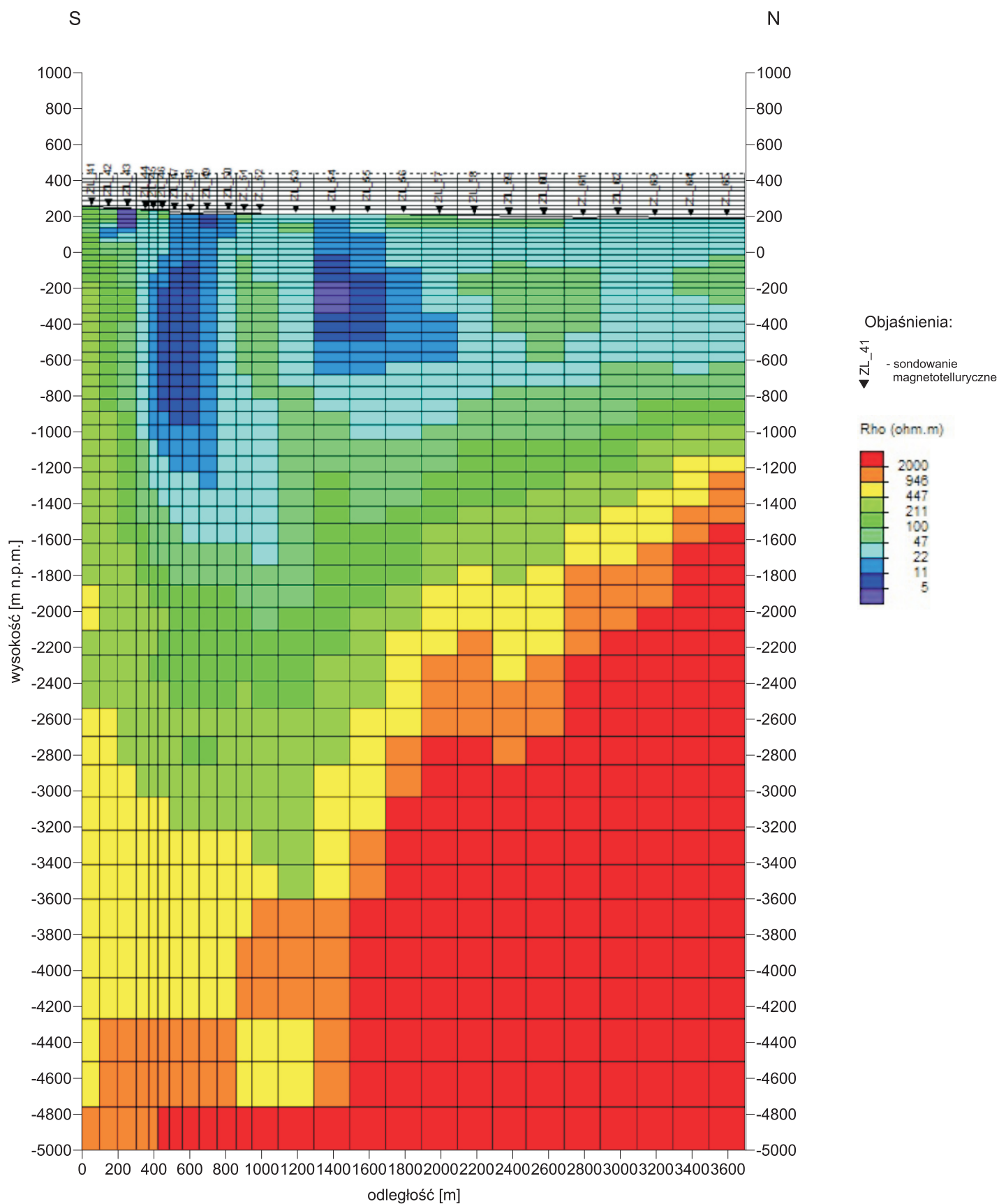


Figura 3.7.3.5d Rozkład oporności wzdłuż profilu 1-ZL_II-18 Złotoryja II na podstawie inwersji 2D wg algorytmu NLCG (iteracja 12)

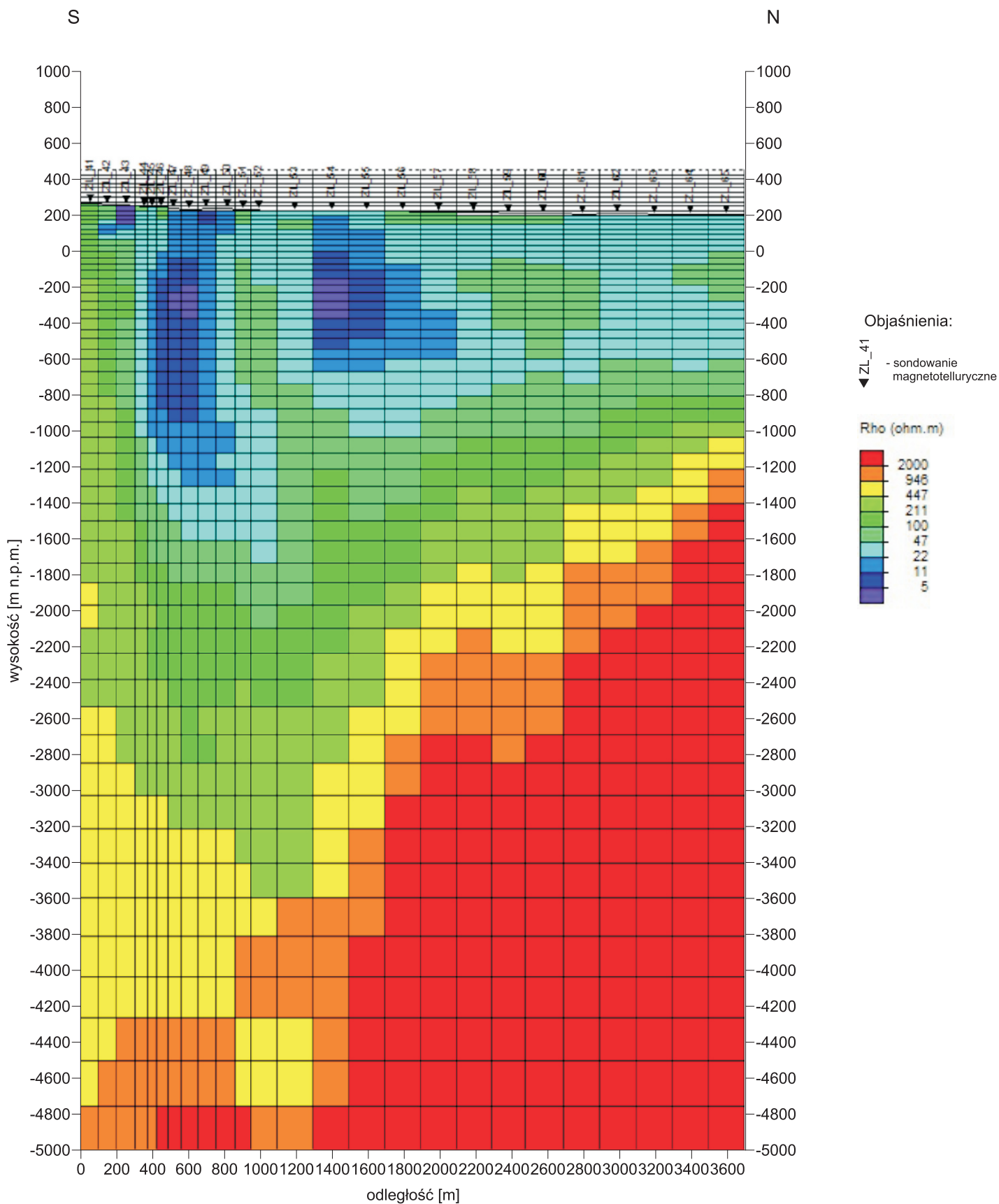


Figura 3.7.3.5e Rozkład oporności wzdłuż profilu 1-ZL_II-18 Złotoryja II na podstawie inwersji 2D wg algorytmu NLCG (iteracja 15)

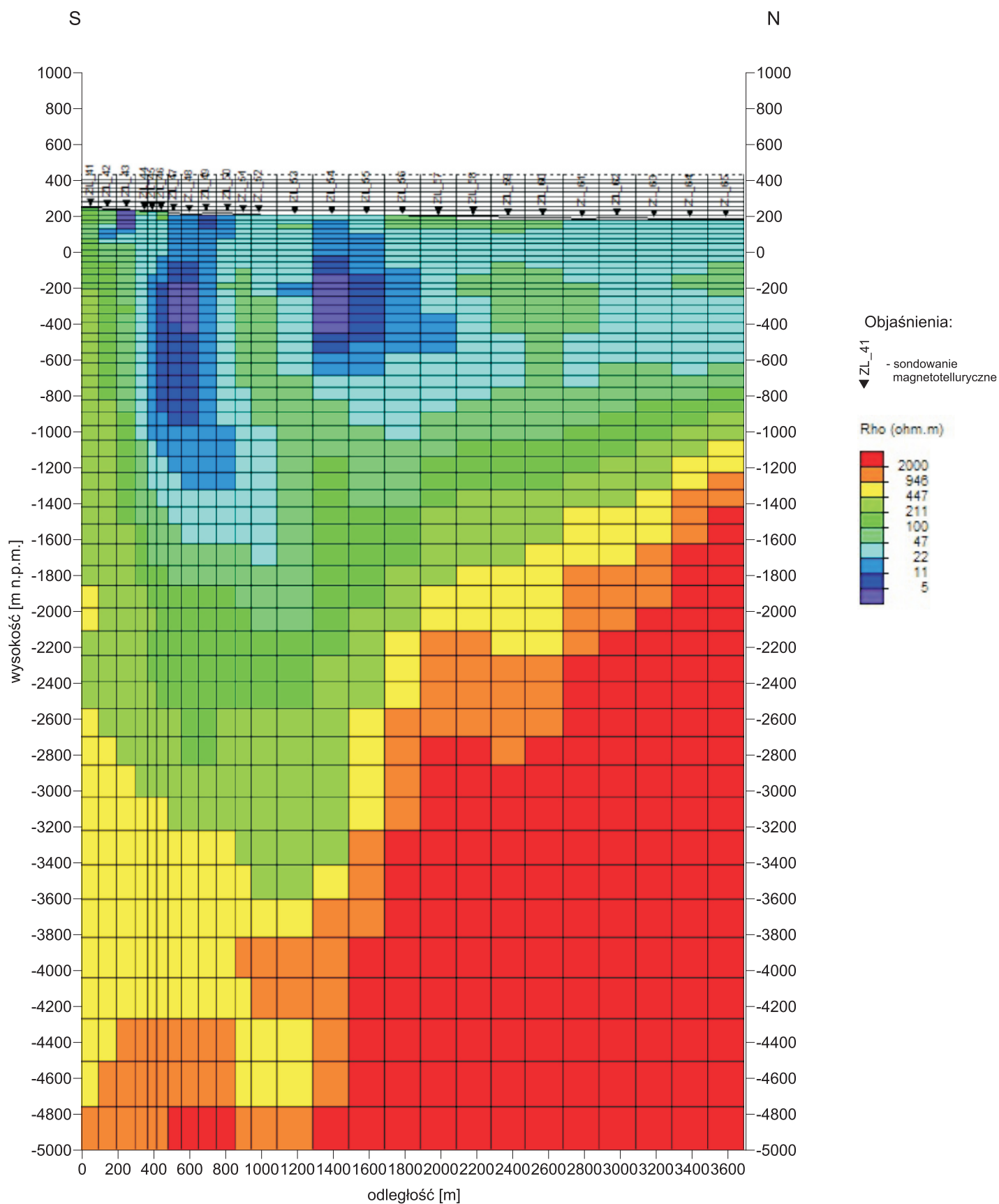


Figura 3.7.3.5f Rozkład oporności wzdłuż profilu 1-ZL_II-18 Złotoryja II na podstawie inwersji 2D wg algorytmu NLCG (iteracja 18)

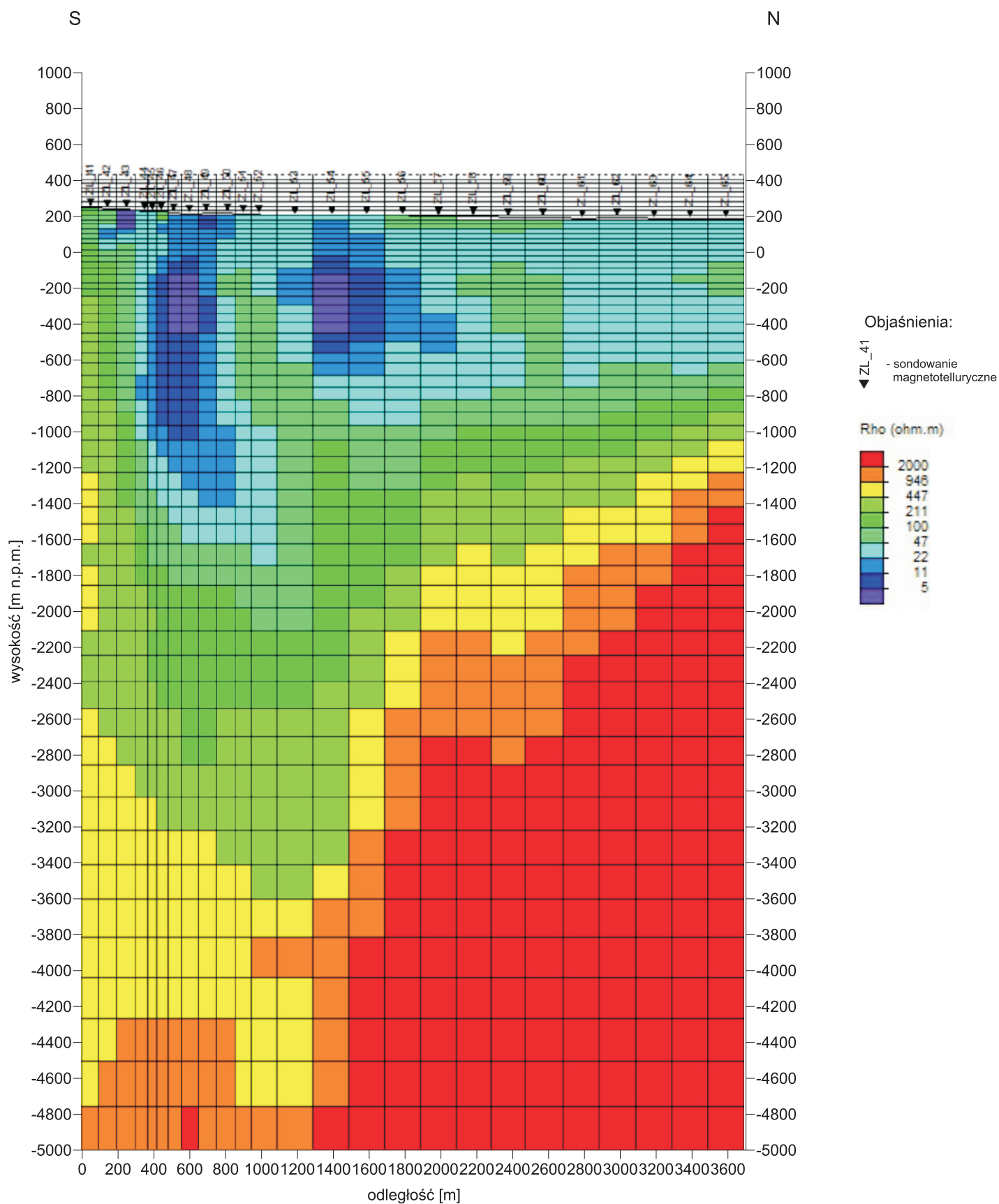


Figura 3.7.3.5g Rozkład oporności wzdłuż profilu 1-ZL_II-18 Złotoryja II na podstawie inwersji 2D wg algorytmu NLCG (iteracja 21)

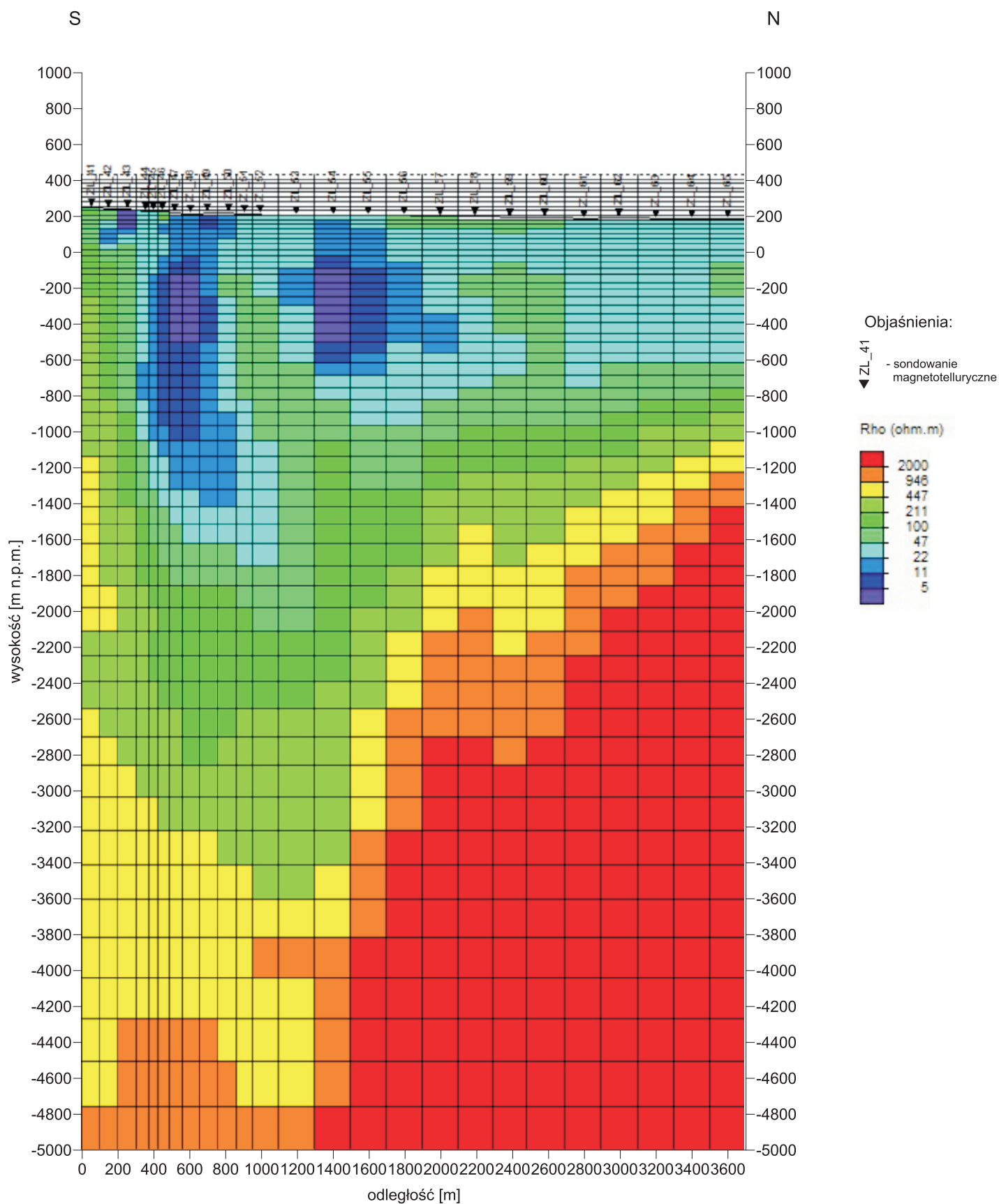


Figura 3.7.3.5h Rozkład oporności wzdłuż profilu 1-ZL_II-18 Złotoryja II na podstawie inwersji 2D wg algorytmu NLCG (iteracja 24)

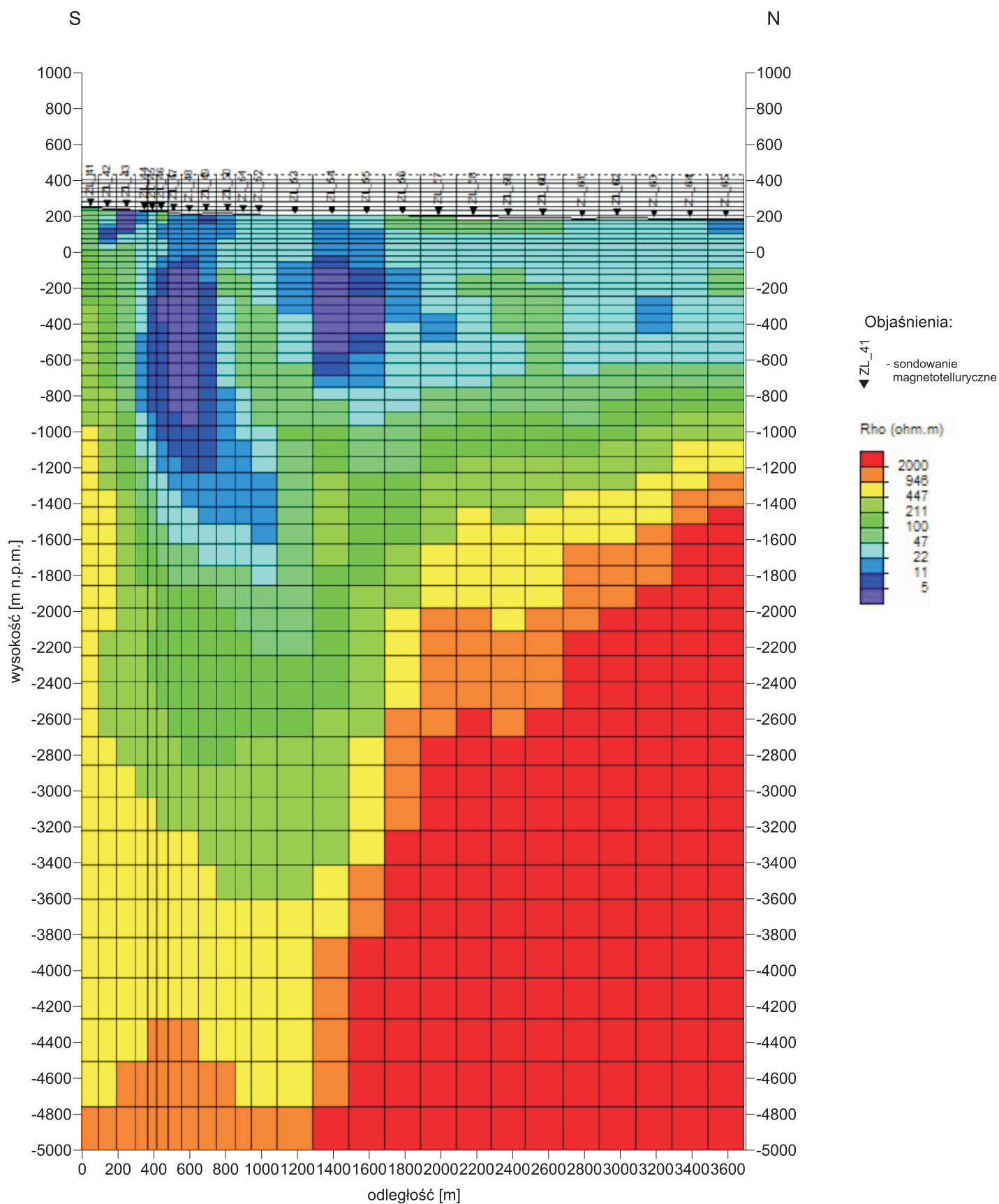


Figura 3.7.3.5i Rozkład oporności wzdłuż profilu 1-ZL_II-18 Złotoryja II na podstawie inwersji 2D wg algorytmu NLCG (iteracja 27)

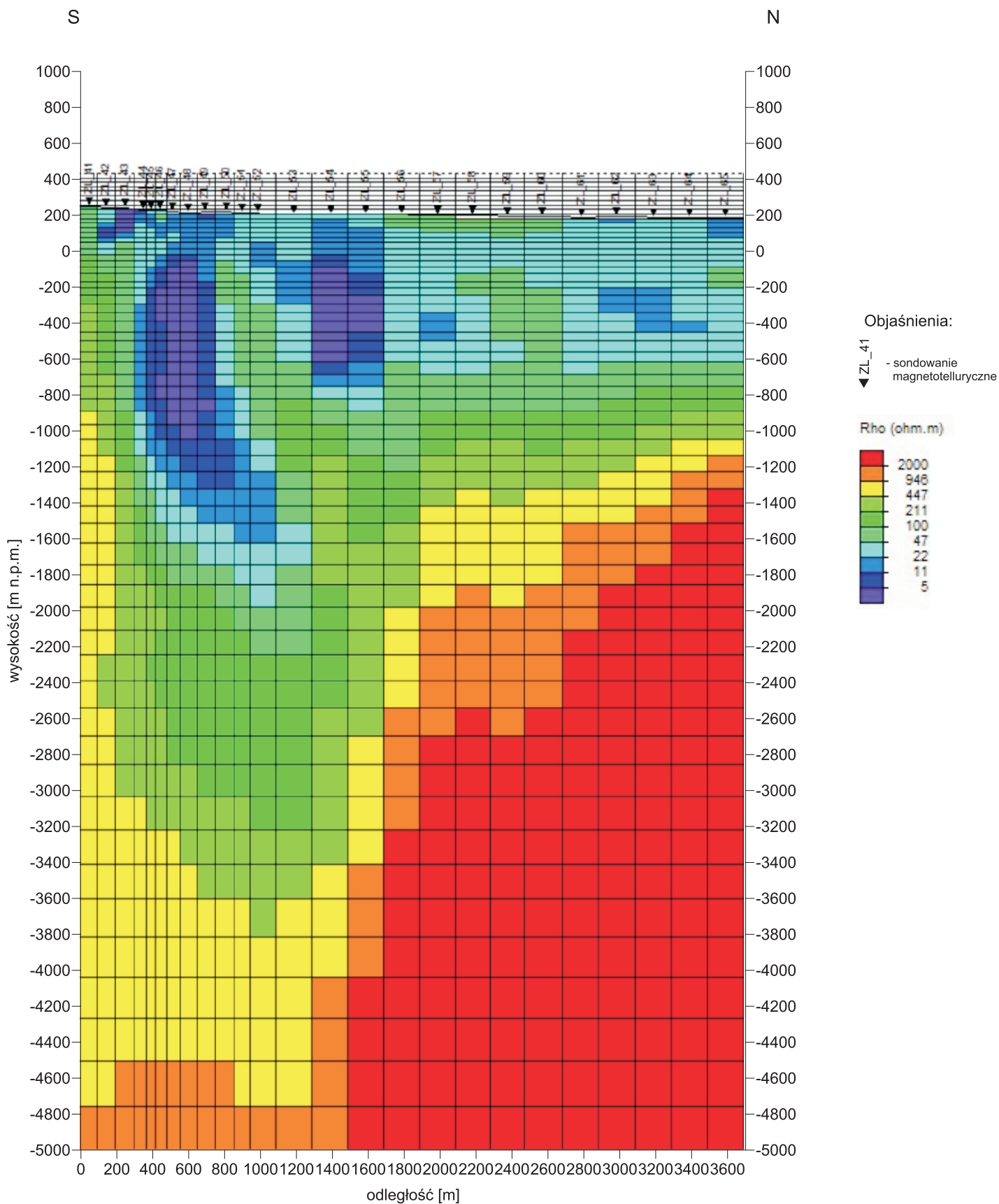


Figura 3.7.3.5j Rozkład oporności wzdłuż profilu 1-ZL_II-18 Złotoryja II na podstawie inwersji 2D wg algorytmu NLCG (iteracja 30)

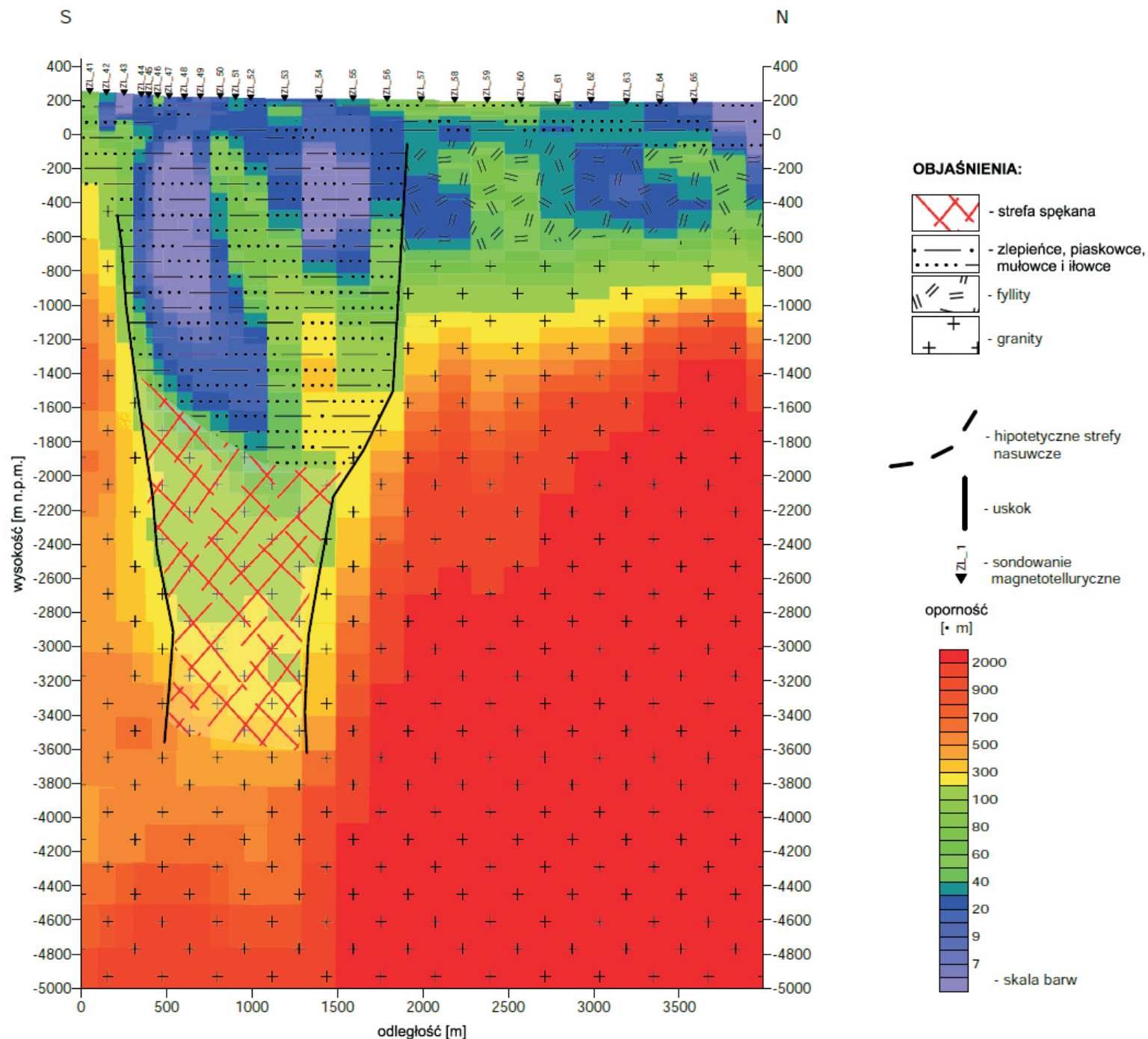


Figura 3.7.3.6. Interpretacja geologiczna wzdłuż profilu 1-ZL_II-18 Złotoryja II wykonana na podstawie rozkładu oporności uzyskanego w wyniku inwersji 2D wg algorytmu NLGC oraz danych geologicznych